

## ОБЪЯСНЕНИЕ НОВОГО КЛАССА ПОЛЯРИЗАЦИОННОГО ЭХА

Л. А. Чернозатонский

Дано объяснение экспериментальным зависимостям поляризационного эха нового класса в пьезополупроводнике [1]. Указано на возможность наблюдения "конверсионного" эха, а также максимумов эха при переменном дрейфе на низких субгармониках начального сигнала.

Известно [2, 3], что поляризационное эхо в пьезоэлектриках возникает из-за взаимодействия звуковой волны ( $\omega_a, \mathbf{q}_a$ ), возбуждаемой в момент  $t_1 = 0$  электрическим полем на частоте  $\omega_1$ , ( $\omega_1 = \omega_a \equiv q_a v_a, \mathbf{q}_a$  – волновой вектор,  $a$  – индекс поляризации звука) и электрического поля на частоте  $\Omega = 2\omega_1$  (в  $t_2 = \tau$ ). Оно обнаруживается по обратной волне ( $-\omega_a, \mathbf{q}_a$ ) в момент времени  $2\tau$  (параметрическое эхо), либо в момент  $T + \tau$  (голографическое эхо) при считывании третьим импульсом (в  $t_3 = T$ ) статической голограммы ( $0, \mathbf{q}_a$ ), образованной прямой волной и вторым импульсом на частоте  $\Omega = \omega_1$ . Обнаруженный недавно [1] новый класс поляризационного эха в пьезополупроводнике ( $\sigma \sim 10^{-7} \text{ ам}^{-1} \cdot \text{см}^{-1}$ ,  $T = 4,2\text{K}$ ) при возбуждении электрическим полем на субгармонике  $\Omega = 2\omega_1/m$  ( $m = 1, 2, \dots$ ) не получил до сих пор удовлетворительной интерпретации<sup>1)</sup>. Цель данной статьи – объяснить эксперименты [1] в рамках линейной теории звукового резонанса в пьезополупроводнике с переменным электрическим полем [4], и, кроме того, указать на появление эха в условиях, отличных от [1].

<sup>1)</sup> Авторы [1] пытались качественно его объяснить ионизацией примесей в переменном электрическом поле, но количественные оценки на порядок превышают экспериментальные величины полей [1].

Пусть в пластине полупроводника (рис. 1) под углом  $\theta$  к нормали распространяется звуковая волна, возбужденная первым импульсом электрического поля на частоте  $\omega_1$ ,

$$u = b_a u_a(r, t) \exp\{iq_a x - i\omega_1 t\} + \text{к.с.}, \quad (1)$$

где  $u_a(r, t)$  — медленно меняющаяся амплитуда,  $x = x q_a / q_a$ ,  $b_a$  — вектор поляризации. При включении второго импульса  $\epsilon_2(t) = E_0 + E_2 \cos \Omega t$  звуковая волна (1) вместе с сопровождающими ее волнами пьезополя  $E_\sim$  и электронной плотности  $n_\sim$  оказываются в области однородного поля  $\vec{\epsilon}_2(t)$ . Для полупроводниковой плазмы электрическое поле (в отличие от диэлектрика [2, 3]) не является малым параметром: переменным полем возбуждаются ряд гармоник волны электронной плотности и, соответственно, гармоники пьезополя [4]. Поэтому упругая система находится в условиях параметрического резонанса, когда со звуковой волной (1) связывается обратная волна  $u_{-\alpha'}(r, t) \exp\{iqx + i\omega_{\alpha'} t\}$  с тем же волновым вектором  $q_{\alpha'} = q_a = q$  и с частотой [4]:

$$\omega_{\alpha'} = m\Omega - \omega_a > 0 \quad m = 1, 2, \dots. \quad (2)$$

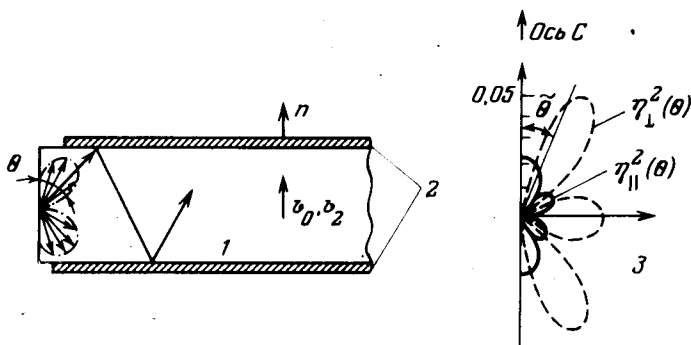


Рис. 1. Схема эксперимента [1]: 1 — пластина из CdS с осью С по нормали  $n$ , 2 — электроды, 3 — пьезоконстанты [5]

Для такой конверсии через плазму акустической волны  $a$  в обратную  $a'$  направление распространения  $q$  должно быть пьезоактивным:  $\eta_a \cdot \eta_{a'} \neq 0$ ,  $\eta_a$  — пьезоконстанта. Например, в CdS для продольной и поперечной волн ( $\eta_{||} \cdot \eta_{\perp}$ )<sub>max</sub> = 0,026 при  $\theta = 20^\circ$  [5] (см. рис. 1).

Из системы уравнений непрерывности с линеаризованным током, Пуассона и теории упругости [4] легко получить уравнения связи амплитуд  $u_a$  и  $u_{-\alpha'}$ :

$$\left( \frac{\partial}{\partial t} + \frac{\partial}{\partial x} v_g^{(\alpha)} + \Gamma_{\alpha}^{(-\alpha')} \right) u_{\alpha}^{(-\alpha')} = \omega_{\alpha'} R_{\alpha}^{(-\alpha')} u_{-\alpha'}, \quad (3)$$

$(\omega_{-\alpha'} \equiv -\omega_{\alpha'}).$

Здесь  $\Gamma = \gamma_{\text{вяз}} + \gamma$ ,  $v_g$  и  $\gamma_{\text{вяз}}$  – групповая скорость и декремент звука в отсутствии носителей заряда,  $\gamma$  и  $R$  – электронные декремент и параметр связи. Для импульсов, ширина которых много меньше промежутка между ними:  $\tau_{1,2} \ll \tau$  (рис. 2, а), из (3) найдем

$$u_{-\alpha}(x=0, t=\tau + \tau') \approx \omega_{-\alpha} R_{-\alpha} (E_2, E_0) u_\alpha(t=0) e^{-\Gamma_a^\circ \tau - \Gamma_{\alpha'}^\circ \tau'} \times$$

$$\times \frac{(e^{-\Gamma_a \tau_2} - e^{-\Gamma_{\alpha'} \tau_2})}{\Gamma_a - \Gamma_{\alpha'}} , \quad \tau' = \tau \frac{v_\alpha}{v_{\alpha'}} , \quad (4)$$

( $\Gamma^\circ$  – декремент в отсутствии поля), пренебрегая обратным влиянием на прямую волну в момент действия короткого импульса:

$$|u_{-\alpha}(\Delta t = (0, \tau_2))/u_\alpha(t=0)| \ll 1,$$

что обычно выполняется на эксперименте [1 – 3]. Таким образом, при возбуждении обратной волны  $\alpha'$  сигнал "конверсионного" эха, прямо пропорциональный  $u_{-\alpha}(0, \tau + \tau')$  за счет пьезоэффекта, возникает на частоте  $\omega_{\alpha'}$ , спустя время  $\tau + \tau'$  после включения первого импульса (рис. 2, а). При  $\Omega = 2\omega_\alpha/m$  т.е. при возбуждении обратной волны той же поляризации эхо возникнет через  $2\tau$  [1].

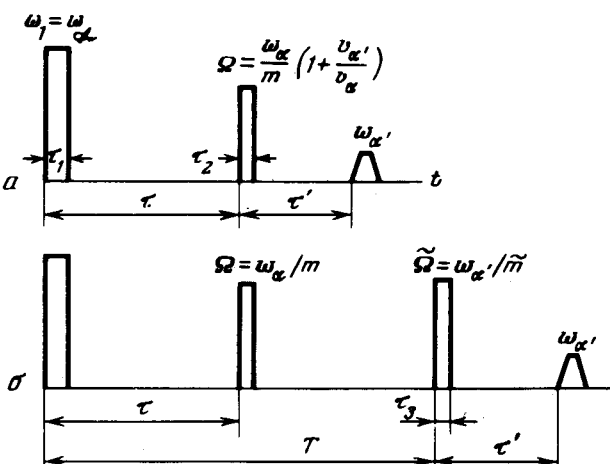


Рис. 2. Схемы импульсов ( $\tau_{1,2,3} \ll \tau$ ;  $v_\alpha < v_{\alpha'}$ ):  
а – параметрическое эхо,  
б – голограммическое эхо

Если частота второго импульса равна  $\Omega = \omega_{\alpha'}/m$ , то в кристалле с уровнями рекомбинации [6] "запомнится"  $m$ -я гармоника неравновесной плотности носителей:  $n_m(q) \exp\{iqx - (t - \tau)/T_1\}$ , медленно релаксирующая со временем  $T_1$ . Такая голограмма может "считываться" третьим импульсом поля на частоте  $\tilde{\Omega} = \omega_{\alpha'}/\tilde{m}$  в момент  $t = T$  ( $T < T_1$ ). Эхо возникнет на частоте  $\omega_{\alpha'}$ , спустя время  $T + \tau'$  после первого импульса (рис. 2, б). При  $\tilde{\Omega} = \omega_{\alpha'}/\tilde{m}$  эхо возникнет через  $T + \tau$  (в [1]  $\tilde{\Omega} = \omega_\alpha$ ).

Наибольшее влияние на упругую систему плазма оказывает тогда, когда одна из гармоник плотности  $N(l)$  находится в области дрейфового резонанса [4]:

$$\Delta_l \ll \Omega (\Delta_l = \omega_a - qv_o - l\Omega, l = 0, \pm 1, \dots), \quad \text{т.е. } v_o \approx v_{l,m}(\theta) = \frac{v_a}{\cos \theta} \times \\ \times \left( 1 - \frac{l}{m} \left( 1 + \frac{v_a}{u_a} \right) \right) \quad (5)$$

$$\text{при } 2\pi a/\Omega \ll 1 \quad \left( a = \omega_a \left( \frac{\omega_c}{\omega_a} + \frac{\omega_a}{\omega_D} \right), \quad \Omega = \omega_a \left( 1 + \frac{v_a}{u_a} \right) / m \text{ из (2)} \right). \quad (6)$$

Здесь  $\omega_D = v_a^2/\omega_c r_o^2$ ,  $\omega_c$  – максвелловская частота,  $r_o$  – радиус Дебая,  $v_o = \mu E_o$ ,  $\mu$  – подвижность. Ниже рассматривается только этот случай, так как в [1] условие (6) было выполнено:  $\omega_c \sim 10^6 \text{ сек}^{-1}$ ,  $\omega_a \sim 10^9 \text{ сек}^{-1}$ ,  $\omega_D \sim 10^{12} \text{ сек}^{-1}$ , а параметры  $\gamma$  ( $\gamma > \gamma_{\text{вяз}}$ ) и  $R$  оказываются примерно в  $a/\Omega$  раз больше чем при  $v_o \neq v_{l,m}(\theta)$  и имеют простой вид (ср. [4]):

$$\begin{aligned} \gamma_a &= \frac{1}{2} \eta_a^2 \frac{\omega_c \Delta_{l(l-m)}}{(\alpha')^2 \Delta_{l(l-m)}^2 + a^2} J_l^2(\xi) ; \\ R_a &= \frac{(-1)^m}{2} \eta_a \eta_{a'} \frac{\omega_c J_l(\xi) J_{l-m}(\xi)}{\Delta_{l(l-m)} + ia}, \end{aligned} \quad (7)$$

где  $J_l(\xi)$  – функция Бесселя,  $\xi = \mu q E_2 / \Omega$ . Как видно из (4) – (7) максимальный отклик  $\gamma_{-a'}$  должен возникать не только из-за малости диффузионного тока ( $\omega_a < \omega_D$ ) [1], но также из-за малости максвелловской экранировки поля  $E_2$  ( $\omega_a > \omega_c$ ) и при определенных значениях постоянного дрейфа (5). Физический смысл правил отбора [1] прямо вытекает из условий дрейфового резонанса (5) – (6). Так без дрейфа ( $E_o = 0$ ) условие (5) выполняется для  $m\Omega = 2\omega_a$  при четном числе  $m$ :

$$m = 2p, \quad \text{т. е. } p\Omega = \omega_a (p = 1, \dots) \quad \text{при } v_o = 0. \quad (8)$$

Число  $m$  может быть любым только когда скорость дрейфа находится вблизи значения  $v_o/\cos \theta$  ( $l = 0$  в (5)), а не просто при  $E_o \neq 0$  [1]:

$$m\Omega = 2\omega_a \quad (m = 1, \dots) \quad \text{при } v_o \approx v_{o,m}(\theta) \equiv v_a/\cos \theta.$$

Это правило справедливо и для "конверсионного" эха ( $\alpha' \neq \alpha$  в (3) – (6)). Отметим, что по максимуму эха при  $v_o \approx v_{o,m}$  можно оценить подвижность носителей: в образцах [1]  $\mu = v_a/(\cos \theta E_o) = 40 \div 60 \text{ см}^2/\text{в.сек.}$

Характерно, что при малых амплитудах  $E_2$ , когда  $\xi \ll 1$ , для  $m = 2p$  отношение амплитуд эха (см. (4) (7)):

$$| u_{-a}^p (\Delta_o = a) / u_{-a}^p (v_o = 0) | \approx p! e^{\Gamma_M \tau_2} / (\Gamma_M \tau_2 (p+1) \cdots \cdot 2p) \quad (10)$$

не зависит от поля  $E_2$  и определяется параметром  $\Gamma_M \tau_2$ ,  $\Gamma_M = \eta_a^2 \omega_a$ .  
 $: 4(1 + q^2 r_o^2)$ . Это и наблюдается на эксперименте [1] рис. 1: для  $\Omega = \omega_a$   
отношение (10) равно 2,5 при  $E_2$  на 12,9 и 6 дБ ниже амплитуды источника напряжения. Из-за большого инкремента  $\Gamma_M$  эхо проявляется при  $v_o \approx v_a / \cos \theta$  и для  $m = 3, 4, 5, 6$  (рис. 2 [1]). Широкие максимумы в зависимости эха от поля  $E_o$  [1] возникают, вероятно, за счет возбуждения первым импульсом звуковых волн в угловом конусе (рис. 1) и поэтому максимальный отклик от разнонаправленных волн —  $u_{-\alpha}(\theta_i)$  будет при различных значениях  $(v_o)_i = v_{l,m}(\theta_i)$  (рис. 3). Величина  $v_{l,m}(\theta)$  в (5) может быть меньше скорости звука  $v_a$ , например, максимум эха  $u_{-\alpha}$  ( $m = 4$ ) при  $v_o \approx v_a / 2 \cos \theta$  на рис. 3.

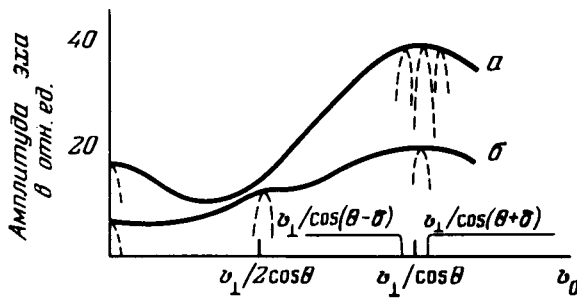


Рис. 3. Зависимость параметрического эха от постоянного дрейфа носителей:  
— эксперимент [1],  
— расчет по формулам (4) — (7) для поперечных волн с  $\theta = 30^\circ$ , где  $\eta_a^2(30^\circ)_{max} = 0,056$  [5] ( $\delta = 10^\circ$ ).  
 $a - \Omega = \omega_1 = 2\pi \cdot 230$  Мгц

$$(m=2), \delta - \Omega = \omega_1/2 = 2\pi \cdot 225 \text{ Мгц} (m=4); (v_2/v_1 = 0,3, \Gamma_M \tau_2 = 2)$$

При больших амплитудах  $E_2$ , когда  $v_2/v_a \sim 1$ ,  $v_2 = \mu E_2$ , параметр связи  $R_{-\alpha}^P \sim J_2^2(p v_2 \cos \theta / v_a)$  медленно спадает с номером  $p$  ( $J_1^2(1) \approx 0,2, \dots, J_8^2(10) \approx 0,1$ ). Следовательно, можно наблюдать эхо ( $u_{-\alpha} \sim R_{-\alpha}$  из (4)) на низких субгармониках  $\Omega = \omega_a/p$ ,  $p \gg 1$ .

Максимумы голографического эха при  $\Omega = \omega_1/m$  [1] также объясняются присутствием плазмы носителей в области дрейфового резонанса (5) — (6).

Автор благодарен В.М.Левину и А.А.Чабану за полезные обсуждения.

Всесоюзный  
научно-исследовательский институт  
физико-технических  
и радиотехнических измерений

Поступила в редакцию  
5 августа 1977 г.

### Литература

- [1] N.S.Shiren, R.L.Melcher. Proc. US Symp. 1974, IEEE, N.Y.1974;  
R.L.Melcher, N.S.Shiren. Phys. Rev. Lett., 34, 731, 1975.
- [2] A.Brillman, C.Frenois, J.Joffrin, A.Levelut, S.Ziolkiewicz, J.Phys. (Paris), 34, 453, 1973.
- [3] Г.А.Смоленский, С.Н.Попов, Н.Н.Крайник, Б.Д.Лайхтман, Е.А.Тараканов. ЖЭТФ, 72, 1427, 1977.
- [4] В.М.Левин, Л.А.Чернозатонский. ЖЭТФ, 59, 142, 1970.
- [5] В.И.Пустовойт, Л.А.Чернозатонский. ФТП, 6, 1311, 1972.
- [6] А.А.Чабан. Письма в ЖЭТФ, 15, 108, 1972.